

(92) 人工造成地盤における地震時被害予測

愛知工業大学(正) 谷口仁士
愛知工業大学(正) 飯田義事

1.はじめに

最近の地震による被害状況は家屋倒壊などの被害に対し、地盤破壊・斜面崩壊によって生じた家屋の倒壊等の被害が相対的に増大しているようである。例えば、1978年の伊豆大島近海地震および同年、宮城県沖地震による被害である。宮城県沖地震による被害において、急斜面を空地として造成した緑ヶ丘団地で擁壁の崩倒・すべり出し等による家屋倒壊の被害は新しい都市災害の一例と言えよう。本研究は、名古屋市東部丘陵地に多く見らるる造成地盤の地震時における危険度および被害予測を行うものである。

2. 斜面モデルと解析条件

2-1 斜面のモデル；名古屋市の土地区画整理事業は昭和初期に始まり、今日に至っている。この区画整理の時間的推移によれば、区画地域は名古屋市の中心より、徐々に郊外へと移り、今日では図1に示した市東部丘陵地で大規模に行かれている。そこで、図1に示した地域において、後述する応答解析の周際上、①斜面の保護種類、②斜面の高さ、③斜面の角度、④造成地盤の様式の4項目を主体とした現地調査を行った。調査地点は123ヶ所で、この調査結果を基に斜面分類を行うと、図1に示したように4つの形状に分類することができた。この調査結果より、区単位の斜面形状分布を考察すると、図2に示す結果となった。図2に示したように、丘山、天白、緑区は保護なし斜面の多い地区であり、千種、名東区は周知アロック斜面が多いことわかる。ここで、6区全体の斜面形状別分布の割合を求めると、保護なし斜面は35.8%，コンクリート斜面(盛土)は12.2%，コンクリート斜面(切土)は13.0%，周知アロックの盛土斜面は2.4%，切土斜面は26.0%として、丸石斜面(盛土)は5.7%，切土は4.9%となっている。全体に切土斜面が多いようである。

2-2. 解析条件；地震時地盤の応答解析手法は地盤構造が水平多層より構成されている地盤においてはS波の重複反射理論に基づく解析法が用いられるが、丘陵地、人工造成地等の不規則な構造を有する造成地盤においてはこの解析手法は適用できない。この種の問題に対して、

図1 現地調査区域と斜面保護別造成地分布

工学的分野ではF.E.M法によく用いられ、また、有用であるとされている。しかし、通常の有限要素解析においては、有限領域の問題しか取り扱うことが出来ないので、半無限の拡張を有するような地盤系の応答解析に適用しようとすると、この系を有限な仮想境界で区切らなければならぬ。この仮想境界に與する境界条件は解に大きな影響を与えるものとされている。従って、半無限の拡張をもつ地盤系の応答解析においては、境界条件を適確に定め、系の半無限状態を再現するか、あるいは、有限領域と半無限領域を結合し解析対象となる地盤系を再現することによって解の安定を計る必要があるであろう。

そこで、本研究においては、図3に示したように、水平方向の半無限状態の再現には大規模な側面要素を用いることにより、また、

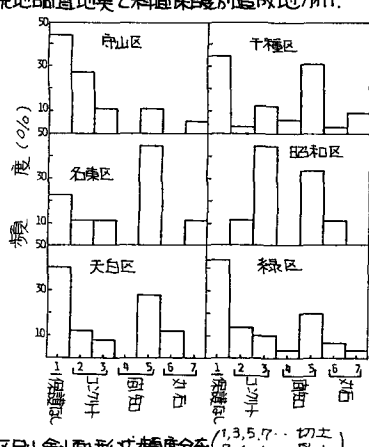
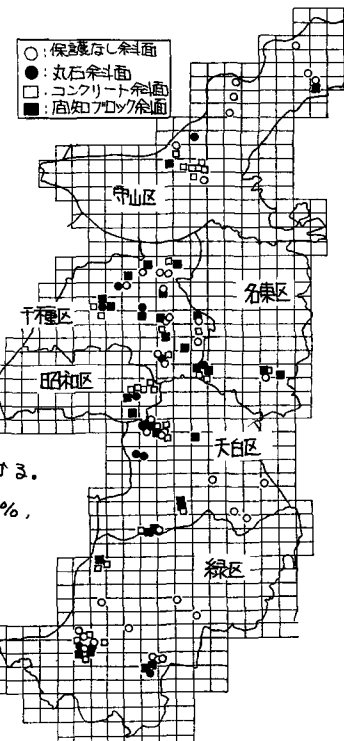


図2. 区別 斜面形状別頻度分布(1,3,5,7...切土)
(2,4,6...盛土)

鉛直方向の再現には、基盤内においては S 波の重複反射理論

による応答解析を行い、この応答結果を解析対象地盤の基本となる有限領域への入力とする方法を用いた。一元、境界条件については、鉛直方向 Lysmer の粘性境界条件を使用し、水平方向については佐藤の側方大弾性と Lysmer の粘性境界を応用した境界条件を使用した。

次に、図 1 に示したように 4 つの斜面形状の解析モデルとして、

図 3 を基に、図 4(a)～(d) に示した有限要素モデルとした。図 4(a)～(d)

に示した各種の擁壁に適する密度、S 波速度について詳細な資料はないが、擁壁に用いられている材料、経過年数より、コンクリート擁

壁では $V_s = 600 \text{ m/s}$, $\rho = 24$
陶磁アロックは $V_s = 800 \text{ m/s}$,
 $\rho = 2.5$, 砂石は $V_s = 500 \text{ m/s}$
 $\rho = 2.1$ と推測した。また、
擁壁の厚さについてはコンクリートでは約 $0.5 \text{ m} \sim 1.0 \text{ m}$, 陶磁アロックおよび砂石は $0.5 \text{ m} \sim 0.7 \text{ m}$ とした。

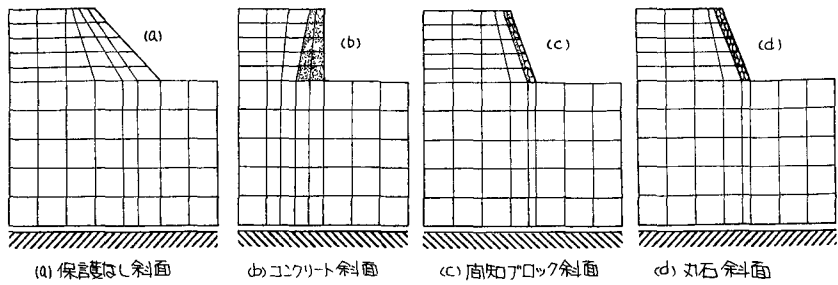


図 3 斜面の解析モデルの基本図

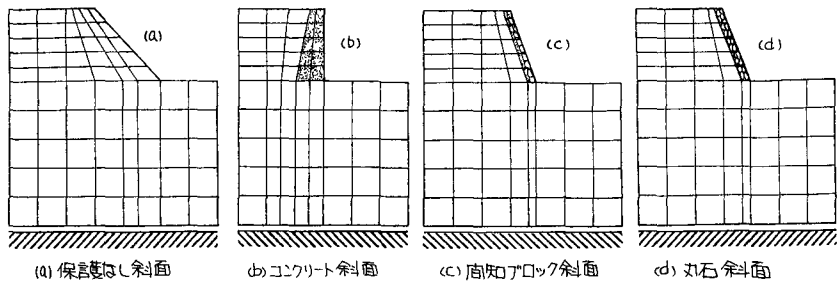


図 4 各種斜面形状別 解析斜面モデル

その他、計算に必要な斜面高、斜面角度については現地調査より決定し、地方の S 波速度については名古屋地盤図のボーリング柱状図に記載されている N 値、土質区分を基に作られた飯田ほかによる S 波速度推定式

$$V_s = 117.88 \cdot N^{0.202} \left[\begin{array}{l} 1.000 (\text{沖積}) \\ 1.423 (\text{洗積}) \\ 1.810 (\text{第四紀}) \end{array} \right] \cdot \left[\begin{array}{l} 1.000 (\text{粘土}) \\ 0.832 (\text{シルト}) \\ 0.787 (\text{砂}) \\ 0.887 (\text{碎石}) \end{array} \right]$$

より算出した値を用いた。たとえば盛土については $V_s = 500 \text{ m/s}$ とした。

3. 宮城県沖地震による造成地盤の応答解析

図 5 に宮城県沖地震で被害を受けた仙台市緑ヶ丘団地の地盤構造と応答解析結果の一部を示した。図に示したように、基盤が露頭している No.30 では、どの周波数帯域においても増幅度は 1.0 倍程度となっている。No.90 および No.114 では、1.0 倍および 3.8 Hz 附近にピークを

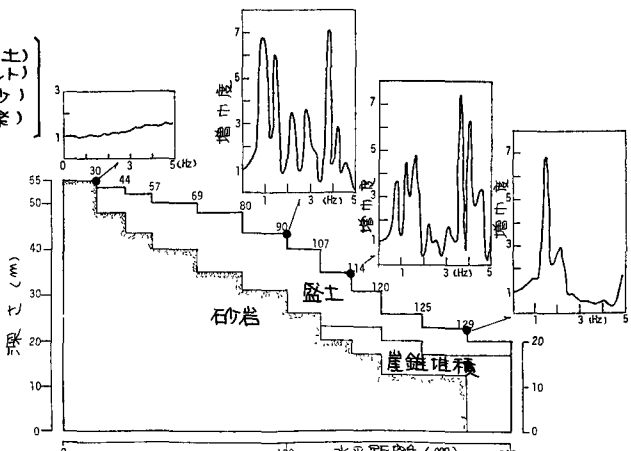


図 5 緑ヶ丘団地の斜面モデルと応答スペクトル

有するスペクトル構造をしており、増幅度は No.90 で約 7 倍、No.114 で 7.2 倍となっている。石岩より上へ地層を盛土と考えたとき、各節面での増幅度と盛土厚との関係は比例関係にあるようである。一元、浅田はこの緑ヶ丘団地での盛土厚と住家被害状況について、被害は切土地盤ではほとんど見られず、大多数は盛土地盤に発生し、盛土厚とともに被害も増大していると報告している。従って、盛土厚に対する被害状況と増幅度の関係は説明的であることより、両者の間で何らかの関係式が求まるものと推察できる。そこで、図 6 に盛土厚に対する被害状況と増幅度の関係を示した。図中の白丸および実線は浅田による報告であり、黒丸および破線は計算結果による値である。また、仙台市における墓石の転倒および地下構造より、この地盤の地震基盤の最大入力加速度を 100gal

としたときの各斜面での応答加速度も示した。図に示したように、増巾度と全壊率はほぼ比例関係にあり、増巾度10倍が全壊率20%に相当するようである。両者の関係は、全壊率を Y_p 、増巾度を Y_A とすると、

$$Y_p = 2.31 \cdot Y_A - 1.87$$

となる。ここで、先に述べた地表面での最大加速度 α_a と全壊率との関係を求めると、

$$Y_p = 0.033 \cdot \alpha_a - 1.87 \quad \text{--- (1)}$$

なる関係が成立する。ただし、この関係は、実験結果より、 α_a が約230 gal 以上の場合に適用できるものとする。

4. 名古屋市における応答解析結果と被害予測。

4-1. 斜面形状による振動特性の相違：

図7(a)～(d)に各斜面形状毎に、卓越周波数、増巾度、S波速度の関係を三次元的に表現した。図に示したように3者の関係は、知アロックと丸石斜面はよく似た形態を示しているが、その他の斜面については極めて異った形態をしている。すなわち、保護なし斜面においては、増巾度は全体的に大きく、3者によって形成される空間体積も大きくになっている。一方、コンクリート斜面においては、増巾度は2.5倍程度の値を頭打ちとなり、空間体積は他の3種の斜面の中でも最も小さくなっている。知アロックと丸石斜面においては3～3.5倍の増巾度はある斜面は数値あるが、大多数は2～2.5倍となっている。3者によって形成される空間体積は、両者ともほぼ同じくらいである。次に、各斜面

形状別に山最大増巾度の

頻度分布を図

8に示した。

また、同図中

に増巾度の相

対平均値を示

した。図8に

示したように、

保護なし斜面

では増巾度が

1.5～2.0倍と2.5

～3.0倍で最頻

値26.7%となり、

同様に、コンク

リート斜面では

2.0～2.5倍で63.2

%、知アロック

斜面では1.5～2.0倍で

55.6%、丸石

斜面では4.5～

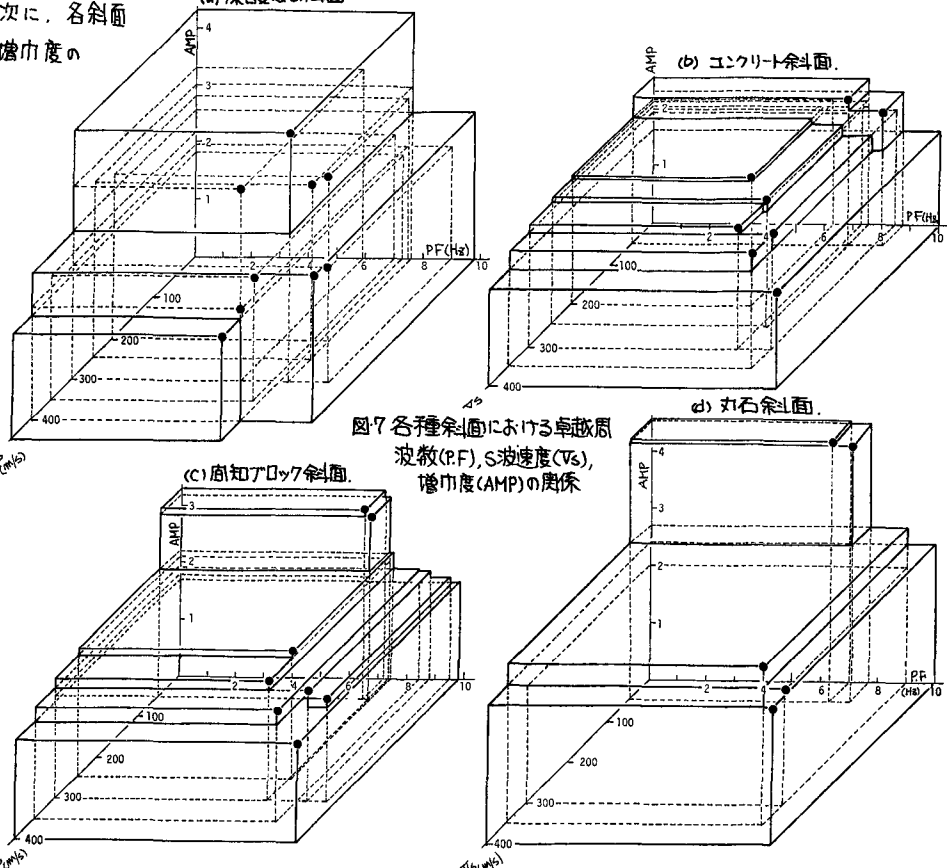
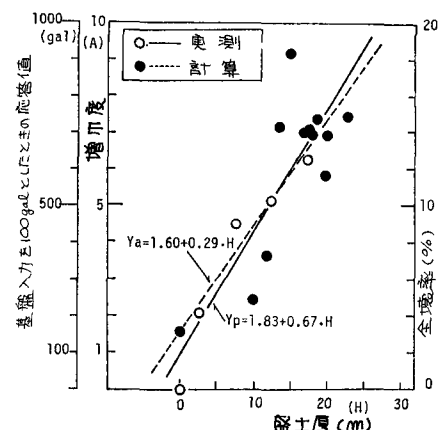


図7 各種斜面における卓越周波数(P.F.)、S波速度(Vs)、増巾度(AMP)の関係

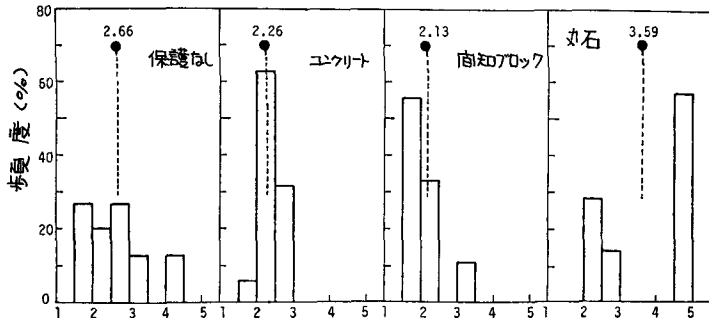
図6. モデル斜面の盛土厚と増巾度および全壊率



5.0倍で57.1%となっている。以上のことでより、斜面形状別に見た地震時の危険度について考察すると、傾巾度より盛土斜面で、かつ、丸石で保護された斜面の危険度が最も大きく、次に、保護なし、商知アロックとしてコンクリート斜面の順になると思われる。

4-2. 名古屋市の斜面の傾巾度特性

前述した各斜面別の傾巾度特性を、斜面の



現地調査結果に基づきまとめたのが図9である。図8各種斜面形状別傾巾度分布と傾巾度の相加平均値。

図9は斜面危険度の地域特性を考慮し、A～Eの5つの地域ゾーンに分割したものである。ただし、この図は斜面形状分類は考慮していない。図に示したように、Cゾーンを除く全てのゾーンにおいて傾巾度2～3倍が最頻値となっている。ゾーンB、DそしてEにおいては傾巾度が4倍以上となる斜面が10%以上存在している。すなわち、この傾巾度分布より、危険度が高いと予測される地域は千種区東部の川事、南山、東山付近として緑区鳴海町付近である。

4-3 斜面上の家屋の被害予測。

図8および図9で求めた斜面形状別傾巾度特性と地域特性によつて前述の(1)式より、名古屋市東部の被害予測を行った。予測方法はまずに計算した傾巾度と想定地震に対する地震基盤への入射最大加速度を乗することにより、斜面法肩への最大応答加速度を算出し、この加速度と(1)式より、全壊率を推定した。想定地震は想定東海地震等3つの地震とし、これらへ地震に対する被害予測結果を表1に示した。表中に示した統計的に求めた被害予測とは、まず、図1に示した区別の斜面形状別頻度分布より斜面数を算出し、次に、図8に示した斜面形状別傾巾度の相加平均値より最大加速度を予測し、被害棟数を求めたものである。

表に示したように、想定東海地震においては斜面に建造された家屋の11.8%が全壊

し、東南海・陸地中地震では4.02%、濃尾地震では8.48%が全壊する予測結果となった。また、被害が大きくなると予測は以下の

地域は千種区東部、天白区北部そして緑区であった。

5. あわりに。

名古屋市域における地域別地震被害想定の宅地造成地盤に関する地震危険度の推定を行った。その結果をまとめるところにはある。

(1) 斜面形状別応答解析結果によれば、丸石、保護なし斜面では大きな傾巾度を示し危険度は高いが、コンクリート、商知アロック斜面では傾巾度は小さくなっている。(2) 斜面の危険度が高いと予測された地域は千種区東部、天白区北部そして緑区鳴海町付近であった。

あわりにのみ、本研究を進めるに当って、名古屋大学工・建築学科多賀直恒助教授と富塙豊助手の御指導と御助力に対し深く感謝する次第である。

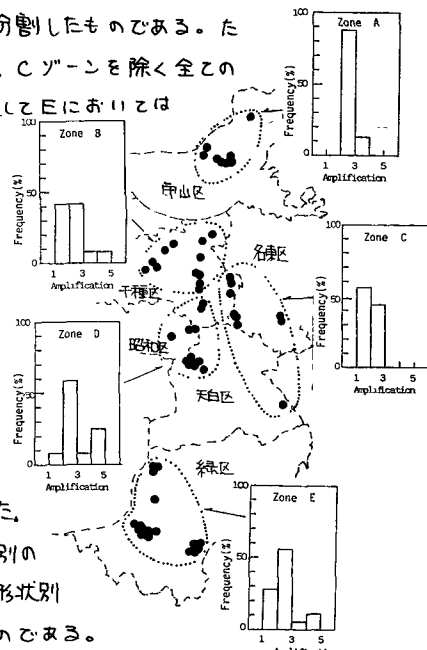


図9. 地域別傾巾度の頻度分布。

表1 想定地震別全壊棟数の予測結果

想定地震と 入力加速度	応答計算によ る被害予測	統計的に求 めた被害予測	合 計
想定東海地震 (170gal)	343棟	275棟	618棟 (11.8%)
東南海 地中 地震(100gal)	667棟	1,433棟	2,100棟 (4.02%)
濃尾地震程度 (120gal)	1,007棟	3,417棟	4,424棟 (8.48%)